

名古屋大学 学生員 草間 晴幸
名古屋大学 正員 福本 勝士

1. 序 繰り返し荷重を受ける構造物の荷重履歴特性については、従来、単一部材または簡単なラーメンを対象として、耐震設計の見地より数多くの研究が行なわれているが、これらを構成する板要素に対する履歴特性についての解析的研究はほとんど行なわれていない。著者は先に繰り返し面外荷重を受ける周辺単純支持板に対して、幅厚比、荷重状態を種々変化させることによりいくつかの興味ある特性を解析的に明らかにした。^[1] 本論文は、繰り返し面内荷重を受ける板の履歴挙動を求める解析手法、および、数値計算結果の照査を目的としたものである。

2. 解析手法 解析の対象としたのは図-1に示されるようなx方向の対辺に強度ねじ面内力を受け、曲げに対しては単純支持、シャイバ作用に対しては周辺せん断力による拘束がなくy方向の対辺に直角な方向の拘束は自由である薄板である。

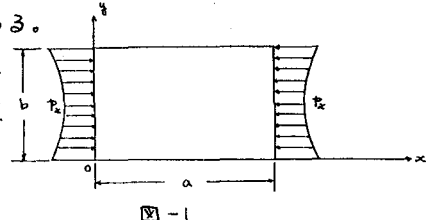


図-1

Theory of the intermediate class of deformationによる面内力を受ける薄板の釣り合い、および適合条件式は次式で表わされる。

$$\Delta \Delta w = \frac{1}{D} L(\phi, \bar{w}) \quad (1) \quad \Delta \Delta \phi = \frac{E}{2} \left\{ L(\bar{w}, \bar{w}) - L(w_0, w_0) \right\} \quad (2)$$

ここで、 Δ : Laplacian, D : 板の曲げ剛度, E : 弾性係数, t : 板厚, w :たわみ, ϕ : 応力関数, $\bar{w} = w + w_0$, w_0 : 初期たわみである。また非線形演算子 L は次式で定義される。

$$L(\phi, \bar{w}) = \frac{\partial^2 \phi}{\partial x^2} \frac{\partial^2 \bar{w}}{\partial x^2} - 2 \frac{\partial^2 \phi}{\partial x \partial y} \frac{\partial^2 \bar{w}}{\partial x \partial y} + \frac{\partial^2 \phi}{\partial y^2} \frac{\partial^2 \bar{w}}{\partial y^2} \quad (3)$$

さらに前研究と同様に、式(1),(2)に対して塑性変形の影響を考慮することができる項を加える。

$$\Delta \Delta w = \frac{t}{D} L(\phi, \bar{w}) - \frac{4}{t} \sum_i (IK \cdot IF_m)_i \quad (4), \quad \Delta \Delta \phi = E \left[\frac{1}{2} \left\{ L(w, w) - L(w_0, w_0) \right\} - \sum_i (IK \cdot IF_m)_i \right] \quad (5)$$

式中、 IK は次式で表わされる演算子マトリックス、 IF_m は塑性変形に従属するベクトル量である。

$$IK = \left[\frac{\partial^2}{\partial x^2}, \frac{\partial^2}{\partial y^2}, \frac{\partial^2}{\partial x \partial y} \right], IF_m = \left[\mu \left(\frac{\partial f}{\partial m_x} + \nu \frac{\partial f}{\partial m_y} \right), \mu \left(\frac{\partial f}{\partial m_y} + \nu \frac{\partial f}{\partial m_x} \right), (1-\nu) \mu \frac{\partial f}{\partial m_{xy}} \right], IF_n = \left[\lambda \frac{\partial f}{\partial m_y}, \lambda \frac{\partial f}{\partial m_x}, -\lambda \frac{\partial f}{\partial m_{xy}} \right] \quad (6)$$

ここで、 ν : ポアソン比, f : 塑性ポテンシャル, μ : 塑性流れ係数, m_x, m_y : 板の曲げモーメント, 流れ応力の各成分を全塑性モーメント, 塑性軸力でそろぞく無次元化したものである。

非線形連立方程式(4), (5)に対して閉じた解を得るために、前研究と同様、式(4)右辺の第1項、第2項の非線形関数をそれぞれ Π 、すに、また式(5)右辺[]内の第1項、第2項の非線形関数をそれぞれ Λ 、 I と置き、これらの関数とひおおよび中の特解部分 ϕ_p をフーリエ二重級数に展開する。さらに、板全体を図-2に示すように、矩形有限領域に分割し、4つの非線形関数はこの有限領域で一定とし、着地におけるこれらの値を Π_j 、 Λ_j 、 I_j で表わす。その結果、式(4), (5)の解は次式で与えられる。

$$w = \frac{16}{\pi^2} S_{ij} \left\{ \frac{t}{D} \Pi_j - \frac{4}{t} (\Lambda_j)_{ij} F_j \right\} \quad (7)$$

$$\phi_p = \frac{16E}{\pi^2} S_{ij} \left\{ \Lambda_j F_j - (I_j)_{ij} F_j \right\} \quad (8)$$

ここで F_j は影響係数、 S_{ij} はクロネッカのデルタであり、添字 i, j に対しては総和規約が成立する。

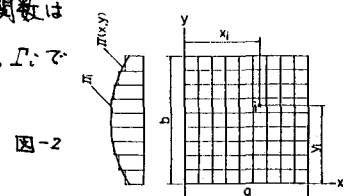


図-2

一方、シャイバ作用に関する境界条件を満足するためには、周辺拘束力の分布、およびそれに伴なう応力関数の補足解を見い出さねばならない。

便宜上、 x 方向の対辺には図-3に示すような一様面内荷重 P_x と軸方向拘束力 t_x が作用し、また板周辺上には図-4に示されるような、せん断拘束力 t_{xy} , $t_{xy'}$ が作用する事とする。これらの拘束力は図に示されるように、周辺上に狭った有限区間では一定の平均値を、 t_x , t_{xy} をそれぞれ持つと仮定する。以上より操作により応力関数の補足解は次のようになる。

$$\phi_c = \phi(P_{x0}) + \phi(P_{x'}) + \phi(t_{xy}) + \phi(t_{xy'}) \quad (9)$$

$\phi(P_{x0})$ に対しては一定の応力場を考え、 $\phi(P_{x'})$ については Levy 解を用いる。

$$\phi(P_{x0}) = -\frac{1}{2} P_{x0} y^2 \quad (10)$$

$$\phi(P_{x'}) = \sum_m \left\{ (\sinh \beta_m x - t_{xy} \cosh \beta_m x) A_m + (\beta_m x \sinh \beta_m x - S_m \beta_m x \cosh \beta_m x - K_m \cosh \beta_m x) C_m \right\} \sin \beta_m x \quad (11)$$

式(11)中の未定係数 A_m , C_m の決定に際して、ある有限区間(t_x , t_{xy})に平均拘束力 t_x が作用したと考えると、これにより生じる境界上の応力は次式で与えられる。

$$(t_x)_{x=0} = P_x \times \frac{8}{\pi} \sum_m \frac{1}{m} \sin \beta_m t_x \sin \beta_m t_{xy} \sin \beta_m y, \quad (t_x)_{x=0} = P_x \times \frac{8D}{\pi} \sum_m \frac{1}{m} \sin \beta_m t_x \sin \beta_m t_{xy} \sin \beta_m y \quad (12)$$

式(11), (12)により未定係数が決定される。同様な手順が $\phi(t_{xy})$, $\phi(t_{xy'})$ に対しても施され、最終的に面内力を受け、載荷対辺において一様変位を生じる板の解は次式となる。

$$w = \frac{16}{\pi^2} Sij \left\{ \frac{1}{D} \Pi_i F_j - \frac{1}{t} (t_x)_i F_j \right\} \quad (13)$$

$$\phi = \frac{16E}{\pi^2} Sij \left\{ \Lambda_i F_j - (t_x)_i F_j \right\} + \frac{4}{\pi} S_R \left\{ (1+\nu) P_x G_0 + 2(t_x H_0 + t_{xy} H_0) \right\} - \frac{1}{2} P_{x0} y^2 \quad (14)$$

式中、 G_0 , H_0 , H_x は t_x , t_{xy} , $t_{xy'}$ に対する影響係数である。また添字 i は荷重段階 i までの、その関数の和を表す。式(13), (14)から分かるように、塑性に関する物理量が自己平衡にある仮想的な荷重としてたわみへの補正項となっている。弾性限界を越えた非弾性領域状態からの除荷過程において、この仮想荷重が自己平衡のまま残留し、その結果、残留塑性変形を生じさせることになる。よって式(13), (14)を用いて負荷-除荷過程に対する履歴挙動を連続的に解析する事が可能となる。

3. 計算結果

解析結果の照査のため、単調増加荷重に対する解析結果の一例を既往の研究と比較した。図-5は板の中央点における荷重-たわみ曲線である。本解析と文献22)でEMを用いた解析は、対象とした板の降伏応力が異なる、といふが、全体の傾向としてよく一致していると思われる。また図-6は平均正規荷重と圧縮方向対辺の移動量を示したものであるが、初期たわみの影響で、曲線が弹性座屈值の50%ぐらへから、線形解から離れていく様子を観察することができる。なお、より詳しい照査、および履歴挙動の解析結果などは、講演当日発表する予定である。

[参考文献]

- (1) 草間、福本、第35回年次学術講演会講演概要集工、pp. 87~88
- (2) 小松、北田、土木学会論文報告集、第270号、pp. 1~14

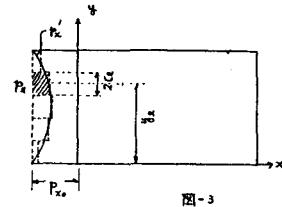


図-3

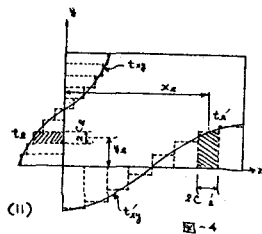


図-4

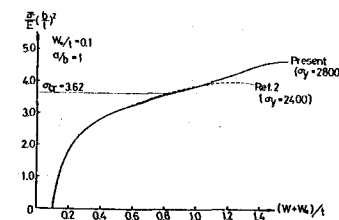


図-5

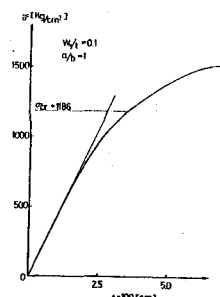


図-6